

Министерство науки и высшего образования

НАЦИОНАЛЬНЫЙ ИССЛЕДОВАТЕЛЬСКИЙ ЯДЕРНЫЙ УНИВЕРСИТЕТ
«МОСКОВСКИЙ ИНЖЕНЕРНО-ФИЗИЧЕСКИЙ ИНСТИТУТ»
(НИЯУ «МИФИ»)

УДК 539.17

ОТЧЁТ
О НАУЧНО-ИССЛЕДОВАТЕЛЬСКОЙ РАБОТЕ

ЯДЕРНЫЕ РЕАКЦИИ И ДЕЛЕНИЕ ЯДЕР ПРИ НИЗКИХ И СРЕДНИХ ЭНЕРГИЯХ
И ПРОБЛЕМА МИКРОСТРУКТУРЫ ДЕФОРМИРОВАННЫХ ЯДЕР

Исполнитель темы
студент группы Б19-102

подпись, дата

Д. А. Ситьков

Научный руководитель
д-р физ.-мат. наук, проф.

подпись, дата

А. Л. Барабанов

Москва 2023

Оглавление

Введение	4
1 Модель двухцентрового осциллятора	6
2 Введение спин-орбитального слагаемого	8
3 Матричный элемент $\ell_z s_z$	12
4 Матричный элемент $\ell_+ s_-$	15
4.1 Состояние $ 000\rangle$	15
4.1.1 Диагональный элемент	15
4.1.2 Недиагональные элементы	15
4.2 Состояние $ 001\rangle$	17
4.2.1 Диагональный элемент	17
4.2.2 Недиагональные элементы	17
4.3 Состояние $ 100\rangle$	18
4.3.1 Диагональный элемент	18
4.3.2 Недиагональные элементы	18
4.4 Состояние $ 101\rangle$	19
4.5 Матрица элементов	19
5 Матричный элемент $\ell_- s_+$	20
6 Элементы $\ell_- s_+$ и $\ell_+ s_-$ для полной волновой функции	21
7 Матричные элементы спин-орбитального оператора	22
8 Гамильтониан системы со спин-орбитальным взаимодействием	23
9 Энергетические уровни в первом порядке	24
9.1 Уровень E_{000}^0	24
9.2 Уровень E_{001}^0	24
9.3 Уровень E_{101}^0	25
9.4 Уровни в зависимости от параметра растяжения	25
10 Энергетические уровни во втором порядке	27
11 Изучение комплекса TALYS-1.9	29
11.1 Образование ^{91}Y	29
11.2 Образование ^{87}Sr	32
11.3 Образование ^{114}In	35
11.4 Образование ^{115}In	38
Заключение	41

Введение

В процессе деления ядро проходит процесс, который заканчивается появлением двух возбужденных ядерных осколков. Они, в свою очередь, претерпевают череду распадов, снимающих возбуждение, и оказываются в своих основных состояниях (либо же в изомерных возбуждённых состояниях).

По мере протекания процесса форма ядра меняется, поддерживая и удлиняя образующуюся шейку между двумя будущими осколками. В итоге система переходит потенциальный барьер и стремится к неадиабатичному процессу разрыва данного региона — образуются два разлетающихся ядерных осколка.

В данной работе продолжается решение задачи в потенциале двухцентрового симметричного осциллятора, описанного в работе [1], что является хорошим приближением реального потенциала деформирующегося в ходе деления ядра — исследуются энергетические уровни модели с учётом ядерного спин-орбитального взаимодействия. В главе 1 представлены результаты, которые были получены в прошлом семестре, в главах 2–10 — результаты рассмотренного в этом семестре спин-орбитального взаимодействия.

Кроме процесса деления ядер в главе 11 данной работы рассматривается важный вопрос ядерного синтеза. А именно, при проектировании установок, в которых предполагается осуществление управляемой реакции термоядерного синтеза $d + t \rightarrow {}^4\text{He} + n$ с образованием нейтронов с энергией 14,1 МэВ (в системе центра масс), представляет интерес исследование реакций, в которых образуются ядра (посредством взаимодействия нейтронов с ядрами атомов конструкционных материалов и других элементов, использующихся в данных установках) в относительно долгоживущих изомерных состояниях, распадающихся посредством испускания довольно жёстких гамма-квантов: учёт этих гамма-квантов важен для оценки радиационной стойкости материалов, используемых в проектируемых установках.

В последней версии библиотеки IRDFF-II (International Reactor Dosimetry and Fusion File) [2] (базы данных EXFOR) всего 4 реакции представляют собой образования ядер-изомеров под действием нейтронов:

1. ${}^{93}\text{Nb}(n, 2n){}^{92\text{m}}\text{Nb}$,
2. ${}^{113}\text{In}(n, n'){}^{113\text{m}}\text{In}$,
3. ${}^{115}\text{In}(n, n'){}^{115\text{m}}\text{In}$,
4. ${}^{115}\text{In}(n, 2n){}^{114\text{m}}\text{In}$.

В настоящее время достигнут значительный прогресс в области численного моделирования ядерных реакций. Подходящим примером может служить программный комплекс

TALYS-1.9 [3] с открытым кодом. Этот комплекс позволяет моделировать столкновения ядер с лёгкими частицами, в том числе нейтронами, с энергиями до 200 МэВ.

Выполненный ранее анализ показал, что с разумной точностью как экспериментальные данные (из библиотеки EXFOR), так и оценки из IRDFF-II по этим сечениям воспроизводятся расчётами по TALYS со следующими (из числа необязательных) ключевыми словами, которые соответствуют тому или иному набору входных параметров из библиотеки RIPL-3 (Reference Input Parameter Library) [4]:

- `ldmodel 1` (2 или 3);
- `fullhf y`;
- `optmodall y`.

В данной работе изучалась возможность использования комплекса TALYS-1.9 как предсказательного инструмента при оценке сечений реакций. Для этого рассматривались реакции

1. $^{91}\text{Zr}(n, p)^{91\text{m/g}}\text{Y}$;
2. $^{91}\text{Zr}(n, n + \alpha)^{87\text{m/g}}\text{Sr}$;
3. $^{115}\text{In}(n, 2n)^{114\text{m/g}}\text{In}$;
4. $^{115}\text{In}(n, n')^{115\text{m/g}}\text{In}$.

Мы рассматриваем данный программный комплекс, поскольку изучаемая модель двухцентрового осциллятора служит хорошим приближением реальной модели ядра при его делении, и в программный комплекс TALYS имеется возможность внедрять собственные модели для расчёта сечений. Таким образом, подробно изучив двухцентровой осциллятор, можно будет проверить полученную модель на практике, внедрив её в комплекс TALYS.

1 Модель двухцентрового осциллятора

Потенциал двухцентрового симметричного осциллятора дан в работе [1]. Рассмотрим решение задачи без учёта спин-орбитального взаимодействия.

Нуклон массой m находится в поле

$$V(\rho, z) = \frac{m\omega^2\rho^2}{2} + \frac{m\omega^2(|z| - z_0)^2}{2}, \quad (1.1)$$

где частота $\omega = \omega_0 R/r$, а величина $r = r(z_0)$ может быть аналитически определена из уравнения

$$2r^3 + 3r^2z_0 - z_0^3 - 2R^3 = 0, \quad (1.2)$$

а, согласно [5, §4, п. 1], величина $\hbar\omega_0 = 40A^{-1/3}$ (MeV) и $R = r_0A^{1/3}$, где $r_0 = 1,2$ (Fm).

Уравнение Шрёдингера $\hat{\mathcal{H}}_0\phi = E\phi$ в этом потенциале записывается в виде

$$\left(\frac{\partial^2}{\partial\rho^2} + \frac{1}{\rho} \frac{\partial}{\partial\rho} + \frac{1}{\rho^2} \frac{\partial^2}{\partial\varphi^2} + \frac{\partial^2}{\partial z^2} - \frac{m^2\omega^2}{\hbar^2}\rho^2 - \frac{m^2\omega^2}{\hbar^2}(|z| - z_0)^2 + \frac{2mE}{\hbar^2} \right) \phi = 0. \quad (1.3)$$

Решения (1.3) представляются в виде $\phi_{n_\varphi n_\rho n_z}(\varphi, \rho, z) = v_{n_\varphi}(\varphi)\chi_{n_\varphi n_\rho}(\rho)\zeta_{n_z}(z)$, где

$$v_{n_\varphi}(\varphi) = \frac{e^{in_\varphi\varphi}}{\sqrt{2\pi}}, \quad n_\varphi \in \mathbb{Z}, \quad (1.4a)$$

$$\chi_{n_\varphi n_\rho}(\rho) = \frac{\exp\left(-\frac{m\omega\rho^2}{2\hbar}\right)\rho^{|n_\varphi|}}{|n_\varphi|!} \left(\frac{m\omega}{\hbar}\right)^{\frac{|n_\varphi|+1}{2}} \sqrt{\frac{2(|n_\varphi| + n_\rho)!}{n_\rho!}} M\left(-n_\rho, |n_\varphi| + 1; \frac{m\omega\rho^2}{\hbar}\right), \quad n_\rho \in \mathbb{N}_0, \quad (1.4b)$$

$$\begin{aligned} \zeta_{n_z=1,3,5,\dots}(z \geq 0) &= C^{(-)} \exp\left(-\frac{m\omega}{2\hbar}(z \mp z_0)^2\right) \times \\ &\times \left[(z \mp z_0) \sqrt{\frac{m\omega}{\hbar}} M\left(\frac{1-n_z}{2}, \frac{3}{2}; \frac{m\omega(z \mp z_0)^2}{\hbar}\right) \mp \right. \\ &\left. \mp \frac{\Gamma\left(-\frac{n_z}{2}\right)}{2\Gamma\left(\frac{1-n_z}{2}\right)} M\left(-\frac{n_z}{2}, \frac{1}{2}; \frac{m\omega(z \mp z_0)^2}{\hbar}\right) \right], \quad (1.4c) \end{aligned}$$

$$\begin{aligned} \zeta_{n_z=0,2,4,\dots}(z) = & C^{(+)} \exp\left(-\frac{m\omega}{2\hbar}(|z| - z_0)^2\right) \times \\ & \times \left[M\left(-\frac{n_z}{2}, \frac{1}{2}; \frac{m\omega(|z| - z_0)^2}{\hbar}\right) - \frac{2\Gamma\left(\frac{1-n_z}{2}\right)}{\Gamma\left(-\frac{n_z}{2}\right)} (|z| - z_0) \sqrt{\frac{m\omega}{\hbar}} \times \right. \\ & \left. \times M\left(\frac{1-n_z}{2}, \frac{3}{2}; \frac{m\omega(|z| - z_0)^2}{\hbar}\right) \right], \quad (1.4d) \end{aligned}$$

где $C^{(-)}$ и $C^{(+)}$ — нормировочные постоянные, которые находятся численным интегрированием.

Квантовое число $n_z = n_z(z_0)$ — функция параметра¹⁾ растяжения z_0 , которая принимает непрерывный спектр значений \mathbb{R} .

Соответствующие энергетические уровни даются зависимостью

$$E_{n_\varphi n_\rho n_z}^0 = \hbar\omega(z_0)(|n_\varphi| + 2n_\rho + n_z(z_0) + 3/2). \quad (1.5)$$

Для приближения полученных уровней к реальным, необходимо ввести в гамильтониан $\hat{\mathcal{H}}_0$ спин-орбитальное слагаемое $V_1(\boldsymbol{\ell}, \mathbf{s})$.

¹⁾В индексах волновых функций указывается значение $n_z(z_0 = 0)$.

2 Введение спин-орбитального слагаемого

Согласно [6, (3)] спин-орбитальное слагаемое описывается потенциалом

$$V_1(\boldsymbol{\ell}, \mathbf{s}) = -\varkappa \hbar \omega(z_0) \cdot 2\boldsymbol{\ell} \cdot \mathbf{s}, \quad (2.1)$$

где оператор $\boldsymbol{\ell}$ описывает орбитальный момент по отношению к соответствующему центру осциллятора $z = -z_0$ или $z = +z_0$, и $\varkappa = \text{const}$.

Необходимо выразить оператор $\boldsymbol{\ell}$ через операторы повышения/понижения (ℓ_+, ℓ_-, ℓ_z) в цилиндрических координатах.

Согласно [7, (4)] оператор орбитального момента для нуклона, помещённого в поле $V(\rho, \varphi, z)$, имеет вид

$$\mathbf{L} = \nabla V \times \mathbf{p}, \quad \mathbf{L} \equiv \hbar m \omega^2(z_0) \boldsymbol{\ell}. \quad (2.2)$$

Найдём его компоненты в декартовой системе координат

$$\mathbf{L} = -i\hbar \cdot \nabla V \times \nabla = -i\hbar \begin{vmatrix} \mathbf{e}_x & \mathbf{e}_y & \mathbf{e}_z \\ \frac{\partial V}{\partial x} & \frac{\partial V}{\partial y} & \frac{\partial V}{\partial z} \\ \frac{\partial}{\partial x} & \frac{\partial}{\partial y} & \frac{\partial}{\partial z} \end{vmatrix} = -i\hbar \begin{bmatrix} \frac{\partial V}{\partial y} \frac{\partial}{\partial z} - \frac{\partial V}{\partial z} \frac{\partial}{\partial y} \\ \frac{\partial V}{\partial z} \frac{\partial}{\partial x} - \frac{\partial V}{\partial x} \frac{\partial}{\partial z} \\ \frac{\partial V}{\partial x} \frac{\partial}{\partial y} - \frac{\partial V}{\partial y} \frac{\partial}{\partial x} \end{bmatrix} \equiv \begin{bmatrix} L_x \\ L_y \\ L_z \end{bmatrix}. \quad (2.3)$$

Действуя на функцию, заданную в цилиндрических координатах, производные в декартовых координатах должны преобразовываться по законам

$$\frac{\partial}{\partial x} = \frac{\partial \rho}{\partial x} \frac{\partial}{\partial \rho} + \frac{\partial \varphi}{\partial x} \frac{\partial}{\partial \varphi}, \quad \frac{\partial}{\partial y} = \frac{\partial \rho}{\partial y} \frac{\partial}{\partial \rho} + \frac{\partial \varphi}{\partial y} \frac{\partial}{\partial \varphi}. \quad (2.4)$$

Цилиндрические координаты задаются тождествами

$$\rho \cos \varphi = x, \quad \rho \sin \varphi = y \implies \rho^2 = x^2 + y^2. \quad (2.5)$$

Отсюда,

$$\frac{\partial}{\partial x} (\rho^2 = x^2 + y^2), \quad \frac{\partial}{\partial y} (\rho^2 = x^2 + y^2) \quad (2.6)$$

$$\rho \frac{\partial \rho}{\partial x} = x, \quad \rho \frac{\partial \rho}{\partial y} = y \quad (2.7)$$

$$\frac{\partial \rho}{\partial x} = \cos \varphi, \quad \frac{\partial \rho}{\partial y} = \sin \varphi. \quad (2.8)$$

Аналогично, рассматривая первые два тождества из (2.5), получим

$$\frac{\partial}{\partial x}(\rho \cos \varphi = x), \quad \frac{\partial}{\partial y}(\rho \sin \varphi = y), \quad (2.9)$$

$$\frac{\partial \rho}{\partial x} \cos \varphi - \rho \sin \varphi \frac{\partial \varphi}{\partial x} = 1, \quad \frac{\partial \rho}{\partial y} \sin \varphi + \rho \cos \varphi \frac{\partial \varphi}{\partial y} = 1. \quad (2.10)$$

Используем (2.8):

$$\cos^2 \varphi - \rho \sin \varphi \frac{\partial \varphi}{\partial x} = 1, \quad \sin^2 \varphi + \rho \cos \varphi \frac{\partial \varphi}{\partial y} = 1, \quad (2.11)$$

$$-\rho \sin \varphi \frac{\partial \varphi}{\partial x} = \sin^2 \varphi, \quad \rho \cos \varphi \frac{\partial \varphi}{\partial y} = \cos^2 \varphi, \quad (2.12)$$

$$\frac{\partial \varphi}{\partial x} = -\frac{1}{\rho} \sin \varphi, \quad \frac{\partial \varphi}{\partial y} = \frac{1}{\rho} \cos \varphi. \quad (2.13)$$

Таким образом,

$$\frac{\partial \rho}{\partial x} = \cos \varphi, \quad \frac{\partial \varphi}{\partial x} = -\frac{1}{\rho} \sin \varphi, \quad (2.14)$$

$$\frac{\partial \rho}{\partial y} = \sin \varphi, \quad \frac{\partial \varphi}{\partial y} = \frac{1}{\rho} \cos \varphi. \quad (2.15)$$

Отсюда, из (2.4) получим

$$\frac{\partial}{\partial x} = \cos \varphi \frac{\partial}{\partial \rho} - \frac{1}{\rho} \sin \varphi \frac{\partial}{\partial \varphi}, \quad (2.16)$$

$$\frac{\partial}{\partial y} = \sin \varphi \frac{\partial}{\partial \rho} + \frac{1}{\rho} \cos \varphi \frac{\partial}{\partial \varphi}. \quad (2.17)$$

Преобразуем компоненты \mathbf{L} при потенциале $V = V(\rho, z)$, не зависящим от угла φ .

$$\begin{aligned} \frac{L_z}{-i\hbar} &= \frac{\partial V}{\partial x} \frac{\partial}{\partial y} - \frac{\partial V}{\partial y} \frac{\partial}{\partial x} = \left(\cos \varphi \frac{\partial V}{\partial \rho} - \frac{1}{\rho} \sin \varphi \frac{\partial V}{\partial \varphi} \right) \left(\sin \varphi \frac{\partial}{\partial \rho} + \frac{1}{\rho} \cos \varphi \frac{\partial}{\partial \varphi} \right) - \\ &- \left(\sin \varphi \frac{\partial V}{\partial \rho} + \frac{1}{\rho} \cos \varphi \frac{\partial V}{\partial \varphi} \right) \left(\cos \varphi \frac{\partial}{\partial \rho} - \frac{1}{\rho} \sin \varphi \frac{\partial}{\partial \varphi} \right) = \cos \varphi \sin \varphi \frac{\partial V}{\partial \rho} \frac{\partial}{\partial \rho} + \frac{1}{\rho} \cos^2 \varphi \frac{\partial V}{\partial \rho} \frac{\partial}{\partial \varphi} - \\ &- \sin \varphi \cos \varphi \frac{\partial V}{\partial \rho} \frac{\partial}{\partial \rho} + \frac{1}{\rho} \sin^2 \varphi \frac{\partial V}{\partial \rho} \frac{\partial}{\partial \varphi} = \frac{1}{\rho} \frac{\partial V}{\partial \rho} \frac{\partial}{\partial \varphi}. \quad (2.18) \end{aligned}$$

То есть,

$$L_z = -i\hbar \frac{1}{\rho} \frac{\partial V}{\partial \rho} \frac{\partial}{\partial \varphi}. \quad (2.19)$$

Далее,

$$\begin{aligned}
\frac{L_x}{-i\hbar} &= \frac{\partial V}{\partial y} \frac{\partial}{\partial z} - \frac{\partial V}{\partial z} \frac{\partial}{\partial y} = \left(\sin \varphi \frac{\partial V}{\partial \rho} + \frac{1}{\rho} \cos \varphi \frac{\partial V}{\partial \varphi} \right) \frac{\partial}{\partial z} - \frac{\partial V}{\partial z} \left(\sin \varphi \frac{\partial}{\partial \rho} + \frac{1}{\rho} \cos \varphi \frac{\partial}{\partial \varphi} \right) = \\
&= \sin \varphi \frac{\partial V}{\partial \rho} \frac{\partial}{\partial z} - \sin \varphi \frac{\partial V}{\partial z} \frac{\partial}{\partial \rho} - \frac{1}{\rho} \cos \varphi \frac{\partial V}{\partial z} \frac{\partial}{\partial \varphi} = \sin \varphi \left(\frac{\partial V}{\partial \rho} \frac{\partial}{\partial z} - \frac{\partial V}{\partial z} \frac{\partial}{\partial \rho} \right) - \frac{1}{\rho} \cos \varphi \frac{\partial V}{\partial z} \frac{\partial}{\partial \varphi}.
\end{aligned} \tag{2.20}$$

То есть,

$$L_x = -i\hbar \left[\sin \varphi \left(\frac{\partial V}{\partial \rho} \frac{\partial}{\partial z} - \frac{\partial V}{\partial z} \frac{\partial}{\partial \rho} \right) - \frac{1}{\rho} \cos \varphi \frac{\partial V}{\partial z} \frac{\partial}{\partial \varphi} \right]. \tag{2.21}$$

Последняя компонента

$$\begin{aligned}
\frac{L_y}{-i\hbar} &= \frac{\partial V}{\partial z} \frac{\partial}{\partial x} - \frac{\partial V}{\partial x} \frac{\partial}{\partial z} = \frac{\partial V}{\partial z} \left(\cos \varphi \frac{\partial}{\partial \rho} - \frac{1}{\rho} \sin \varphi \frac{\partial}{\partial \varphi} \right) - \left(\cos \varphi \frac{\partial V}{\partial \rho} - \frac{1}{\rho} \sin \varphi \frac{\partial V}{\partial \varphi} \right) \frac{\partial}{\partial z} = \\
&= \cos \varphi \left(\frac{\partial V}{\partial z} \frac{\partial}{\partial \rho} - \frac{\partial V}{\partial \rho} \frac{\partial}{\partial z} \right) - \frac{1}{\rho} \sin \varphi \frac{\partial V}{\partial z} \frac{\partial}{\partial \varphi}.
\end{aligned} \tag{2.22}$$

То есть,

$$L_y = -i\hbar \left[\cos \varphi \left(\frac{\partial V}{\partial z} \frac{\partial}{\partial \rho} - \frac{\partial V}{\partial \rho} \frac{\partial}{\partial z} \right) - \frac{1}{\rho} \sin \varphi \frac{\partial V}{\partial z} \frac{\partial}{\partial \varphi} \right]. \tag{2.23}$$

В [8, (4.69)] и [9, Математическое дополнение Б] операторы повышения/понижения вводятся как

$$L_+ \equiv L_x + iL_y, \tag{2.24}$$

$$L_- \equiv L_x - iL_y. \tag{2.25}$$

Так,

$$\begin{aligned}
\frac{L_+}{-i\hbar} &= \frac{L_x}{-i\hbar} + i \frac{L_y}{-i\hbar} = \sin \varphi \left(\frac{\partial V}{\partial \rho} \frac{\partial}{\partial z} - \frac{\partial V}{\partial z} \frac{\partial}{\partial \rho} \right) - \frac{1}{\rho} \cos \varphi \frac{\partial V}{\partial z} \frac{\partial}{\partial \varphi} + \\
&+ i \left[-\cos \varphi \left(-\frac{\partial V}{\partial z} \frac{\partial}{\partial \rho} + \frac{\partial V}{\partial \rho} \frac{\partial}{\partial z} \right) - \frac{1}{\rho} \sin \varphi \frac{\partial V}{\partial z} \frac{\partial}{\partial \varphi} \right] = -i(\cos \varphi + i \sin \varphi) \left(\frac{\partial V}{\partial \rho} \frac{\partial}{\partial z} - \frac{\partial V}{\partial z} \frac{\partial}{\partial \rho} \right) - \\
&- \frac{1}{\rho} (\cos \varphi + i \sin \varphi) \frac{\partial V}{\partial z} \frac{\partial}{\partial \varphi} = -ie^{i\varphi} \left(\frac{\partial V}{\partial \rho} \frac{\partial}{\partial z} - \frac{\partial V}{\partial z} \frac{\partial}{\partial \rho} \right) - \frac{1}{\rho} e^{i\varphi} \frac{\partial V}{\partial z} \frac{\partial}{\partial \varphi} = \\
&= -ie^{i\varphi} \left(\frac{\partial V}{\partial \rho} \frac{\partial}{\partial z} - \frac{\partial V}{\partial z} \frac{\partial}{\partial \rho} - i \frac{\partial V}{\partial z} \frac{1}{\rho} \frac{\partial}{\partial \varphi} \right).
\end{aligned} \tag{2.26}$$

То есть,

$$L_+ = -\hbar e^{i\varphi} \left(\frac{\partial V}{\partial \rho} \frac{\partial}{\partial z} - \frac{\partial V}{\partial z} \frac{\partial}{\partial \rho} - i \frac{\partial V}{\partial z} \frac{1}{\rho} \frac{\partial}{\partial \varphi} \right). \quad (2.27)$$

Из (2.21) и (2.23) видно, что $L_x^* = -L_x$ и $L_y^* = -L_y$. Тогда, $L_- = L_x - iL_y = -L_x^* - (iL_y)^* = -(L_x + iL_y)^* = -L_+^*$. Так,

$$L_- = \hbar e^{-i\varphi} \left(\frac{\partial V}{\partial \rho} \frac{\partial}{\partial z} - \frac{\partial V}{\partial z} \frac{\partial}{\partial \rho} + i \frac{\partial V}{\partial z} \frac{1}{\rho} \frac{\partial}{\partial \varphi} \right). \quad (2.28)$$

Объединяя (2.27) и (2.28), получим, что

$$L_{\pm} = \mp \hbar e^{\pm i\varphi} \left(\frac{\partial V}{\partial \rho} \frac{\partial}{\partial z} - \frac{\partial V}{\partial z} \frac{\partial}{\partial \rho} \mp i \frac{\partial V}{\partial z} \frac{1}{\rho} \frac{\partial}{\partial \varphi} \right). \quad (2.29)$$

Из (2.24) и (2.25) следует, что

$$L_x = \frac{L_+ + L_-}{2}, \quad (2.30)$$

$$L_y = \frac{L_+ - L_-}{2i}. \quad (2.31)$$

Тогда

$$\begin{aligned} \mathbf{L} \cdot \mathbf{s} &= L_x s_x + L_y s_y + L_z s_z = \frac{(L_+ + L_-)(s_+ + s_-) - (L_+ - L_-)(s_+ - s_-)}{4} + L_z s_z = \\ &= \frac{L_+ s_+ + L_+ s_- + L_- s_+ + L_- s_- - L_+ s_+ + L_+ s_- + L_- s_+ - L_- s_-}{4} + L_z s_z = \\ &= \frac{1}{2} (L_+ s_- + L_- s_+) + L_z s_z. \end{aligned} \quad (2.32)$$

3 Матричный элемент $\ell_z s_z$

Для рассматриваемого потенциала двухцентрового осциллятора (1.1), оператор L_z принимает вид

$$L_z = -i\hbar \frac{1}{\rho} \frac{\partial V}{\partial \rho} \frac{\partial}{\partial \varphi} = -i\hbar m \omega^2 \frac{\partial}{\partial \varphi}. \quad (3.1)$$

Ранее были получены волновые функции

$$\phi_{n_\varphi n_\rho n_z}(\varphi, \rho, z) = v_{n_\varphi}(\varphi) \chi_{n_\varphi n_\rho}(\rho) \zeta_{n_z}(z) \equiv \langle \mathbf{r} | n_\varphi n_\rho n_z \rangle. \quad (3.2)$$

Так,

$$\begin{aligned} \langle n'_\varphi n'_\rho n'_z | L_z | n_\varphi n_\rho n_z \rangle &= -i\hbar m \omega^2 \int_{\mathbb{R}^3} v_{n'_\varphi}^* \chi_{n'_\varphi n'_\rho}^* \zeta_{n'_z}^* \frac{\partial}{\partial \varphi} (v_{n_\varphi} \chi_{n_\varphi n_\rho} \zeta_{n_z}) d^3 r = \\ &= -i\hbar m \omega^2 \left[\int_0^{+\infty} \chi_{n'_\varphi n'_\rho}^* \chi_{n_\varphi n_\rho} \cdot \rho d\rho \right] \left[\int_0^{2\pi} v_{n'_\varphi}^* \frac{\partial v_{n_\varphi}}{\partial \varphi} d\varphi \right] \left[\int_{-\infty}^{+\infty} \zeta_{n'_z}^* \zeta_{n_z} dz \right]. \end{aligned} \quad (3.3)$$

Рассмотрим второй интеграл (по φ).

$$\int_0^{2\pi} v_{n'_\varphi}^* \frac{\partial v_{n_\varphi}}{\partial \varphi} d\varphi = \frac{in_\varphi}{2\pi} \int_0^{2\pi} \exp(-i(n'_\varphi - n_\varphi)\varphi) d\varphi = \frac{in_\varphi}{2\pi} \cdot 2\pi \delta_{n'_\varphi, n_\varphi} = in_\varphi \delta_{n'_\varphi, n_\varphi}. \quad (3.4)$$

Первый интеграл (по ρ) вместе с $\delta_{n'_\varphi, n_\varphi}$:

$$\begin{aligned} \delta_{n'_\varphi, n_\varphi} \int_0^{+\infty} \chi_{n'_\varphi n'_\rho}^* \chi_{n_\varphi n_\rho} \cdot \rho d\rho &= C'_1 C_1 \delta_{n'_\varphi, n_\varphi} \int_0^{+\infty} \exp\left(-\frac{m\omega\rho^2}{\hbar}\right) \rho^{|n'_\varphi|+|n_\varphi|+1} M\left(-n'_\rho, |n'_\varphi|+1, \frac{m\omega\rho^2}{\hbar}\right) \times \\ &\quad \times M\left(-n_\rho, |n_\varphi|+1, \frac{m\omega\rho^2}{\hbar}\right) d\rho, \end{aligned} \quad (3.5)$$

где C'_1 и C_1 — нормировочные константы функций $\chi_{n'_\varphi n'_\rho}$ и $\chi_{n_\varphi n_\rho}$ соответственно. Положим $n'_\varphi = n_\varphi$, уберём дельту Крёнекера, опустим третий аргумент функции Куммера и аргумент

ЭКСПОНЕНТЫ:

$$\begin{aligned}
\int_0^{+\infty} \chi_{n_\varphi n'_\rho} \chi_{n_\varphi n_\rho} \cdot \rho \, d\rho &= C'_1 C_1 \int_0^{+\infty} \exp(\dots) \rho^{2|n_\varphi|+1} M(-n'_\rho, |n_\varphi|+1, \dots) M(-n_\rho, |n_\varphi|+1, \dots) = \\
&= C'_1 C_1 \cdot \frac{1}{2} \cdot \frac{\Gamma(n_\rho+1)}{\left(\frac{m\omega}{\hbar}\right)^{|n_\varphi|+1}} \cdot \frac{\Gamma^2(|n_\varphi|+1)}{\Gamma(|n_\varphi|+n_\rho+1)} \delta_{n'_\rho, n_\rho} = \\
&= |C_1|^2 \delta_{n'_\rho, n_\rho} \cdot \frac{1}{\left(\frac{m\omega}{\hbar}\right)^{|n_\varphi|+1}} \cdot \Gamma^2(|n_\varphi|+1) \cdot \frac{\Gamma(n_\rho+1)}{2\Gamma(|n_\varphi|+n_\rho+1)}. \quad (3.6)
\end{aligned}$$

Итого, подставляя нормировочную константу, получим

$$\int_0^{+\infty} \chi_{n_\varphi n'_\rho} \chi_{n_\varphi n_\rho} \cdot \rho \, d\rho = \delta_{n'_\rho, n_\rho}. \quad (3.7)$$

При вычислении (3.6) было использовано соотношение [10, (4.4)].

Так,

$$\langle n'_\varphi n'_\rho n'_z | L_z | n_\varphi n_\rho n_z \rangle = \hbar m \omega^2 n_\varphi \delta_{n'_\varphi, n_\varphi} \delta_{n'_\rho, n_\rho} \cdot \int_{-\infty}^{+\infty} \zeta_{n'_z} \zeta_{n_z} \, dz. \quad (3.8)$$

Последний интеграл по z при любом виде функции $\zeta(z)$ получить аналитически не удалось.

Однако, поскольку

$$\int_{-\infty}^{+\infty} \zeta_{n'_z}(z) \zeta_{n_z}(z) \, dz \equiv \langle n'_z | n_z \rangle, \quad (3.9)$$

а кривые $n_z(z_0)$ не пересекаются, то можно сказать, что

$$\int_{-\infty}^{+\infty} \zeta_{n'_z}(z) \zeta_{n_z}(z) \, dz = \delta_{n'_z, n_z}. \quad (3.10)$$

«Утверждение» (3.10) было проверено численно: при разных зависимостях n'_z и n_z для начальных уровней ($n_z(z_0 = 0) = 0, 1$) вычисление интеграла давало величину порядка $\sim 10^{-6}$, для более высоких уровней (зависимости $\zeta(z)$ более сложные) — величину порядка $\sim 10^{-3}$. При одинаковых зависимостях n'_z и n_z вычисление стабильно выдаёт единицу с очень хорошей точностью.

Полная волновая функция со спиновой частью

$$\Phi_{n_\varphi n_\rho n_z}(\rho, z, \varphi, s) = \phi_{n_\varphi n_\rho n_z}(\varphi, \rho, z) \sigma(s). \quad (3.11)$$

Так,

$$\langle n'_\varphi n'_\rho n'_z s' | \ell_z s_z | n_\varphi n_\rho n_z s \rangle = s n_\varphi \cdot \delta_{n'_\varphi, n_\varphi} \delta_{n'_\rho, n_\rho} \delta_{n'_z, n_z} \delta_{s', s}. \quad (3.12)$$

4 Матричный элемент $\ell_+ s_-$

Для рассматриваемого потенциала оператор L_+ имеет вид

$$L_+ = -\hbar m \omega^2(z_0) \left(\underbrace{\exp(i\varphi) \rho \frac{\partial}{\partial z}}_{\ell_+^{(1)}} - \underbrace{\exp(i\varphi) (|z| - z_0) \operatorname{sgn}(z) \frac{\partial}{\partial \rho}}_{\ell_+^{(2)}} - i \underbrace{\exp(i\varphi) (|z| - z_0) \operatorname{sgn}(z) \frac{1}{\rho} \frac{\partial}{\partial \varphi}}_{\ell_+^{(3)}} \right). \quad (4.1)$$

Будем рассматривать действие оператора L_+ на векторах $\langle \mathbf{r} | n_\varphi n_\rho n_z \rangle = \phi_{n_\varphi n_\rho n_z}(\varphi, \rho, z)$:

$$\phi_{000}(\varphi, \rho, z) = \frac{1}{\sqrt{2\pi}} \exp\left(-\frac{m\omega\rho^2}{2\hbar}\right) \sqrt{\frac{2m\omega}{\hbar}} \cdot \zeta_0(z), \quad (4.2)$$

$$\phi_{001}(\varphi, \rho, z) = \frac{1}{\sqrt{2\pi}} \exp\left(-\frac{m\omega\rho^2}{2\hbar}\right) \sqrt{\frac{2m\omega}{\hbar}} \cdot \zeta_1(z), \quad (4.3)$$

$$\phi_{100}(\varphi, \rho, z) = \frac{\exp(i\varphi)}{\sqrt{2\pi}} \exp\left(-\frac{m\omega\rho^2}{2\hbar}\right) \rho \cdot \frac{m\omega\sqrt{2}}{\hbar} \cdot \zeta_0(z), \quad (4.4)$$

$$\phi_{101}(\varphi, \rho, z) = \frac{\exp(i\varphi)}{\sqrt{2\pi}} \exp\left(-\frac{m\omega\rho^2}{2\hbar}\right) \rho \cdot \frac{m\omega\sqrt{2}}{\hbar} \cdot \zeta_1(z). \quad (4.5)$$

4.1 Состояние $|000\rangle$

4.1.1 Диагональный элемент

Поскольку ϕ_{000} не зависит от угла φ , то

$$\langle 000 | L_+ | 000 \rangle = 0. \quad (4.6)$$

4.1.2 Недиагональные элементы

Элемент $\langle 001 | L_+ | 000 \rangle$

Поскольку ϕ_{001} и ϕ_{000} не зависят от φ , то аналогично (4.6) получим

$$\langle 001 | L_+ | 000 \rangle = 0. \quad (4.7)$$

Элемент $\langle 100|L_+|000\rangle$

$$\langle 100|\ell_+^{(1)}|000\rangle = \left(\frac{m\omega}{\hbar}\right)^{-1/2} \int_{-\infty}^{+\infty} \zeta_0(z) \frac{d\zeta_0(z)}{dz} dz = 0, \quad (4.8)$$

в силу нечётности подынтегральной функции. Аналогично

$$\langle 100|\ell_+^{(2)}|000\rangle = -\left(\frac{m\omega}{\hbar}\right)^{1/2} \int_{-\infty}^{+\infty} \zeta_0(z)\zeta_0(z)(|z| - z_0) \operatorname{sgn}(z) dz = 0. \quad (4.9)$$

Слагаемое

$$\langle 100|\ell_+^{(3)}|000\rangle = 0, \quad (4.10)$$

поскольку ϕ_{000} не зависит от φ .

Итого,

$$\langle 100|L_+|000\rangle = 0. \quad (4.11)$$

Элемент $\langle 101|L_+|000\rangle$

$$\langle 101|\ell_+^{(1)}|000\rangle = \left(\frac{m\omega}{\hbar}\right)^{-1/2} \int_{-\infty}^{+\infty} \zeta_1(z) \frac{d\zeta_0(z)}{dz} dz, \quad (4.12a)$$

где $\zeta_1(z)$ — нечётная функция, $d\zeta_0(z)/dz$ — тоже нечётная функция. Поэтому

$$\langle 101|\ell_+^{(1)}|000\rangle = 2 \left(\frac{m\omega}{\hbar}\right)^{-1/2} \int_0^{+\infty} \zeta_1(z) \frac{d\zeta_0(z)}{dz} dz \quad (4.12b)$$

$$\langle 101|\ell_+^{(2)}|000\rangle = -2 \left(\frac{m\omega}{\hbar}\right)^{1/2} \int_0^{+\infty} \zeta_1(z)\zeta_0(z) \cdot z dz^1. \quad (4.13)$$

$$\langle 101|\ell_+^{(3)}|000\rangle = 0, \quad (4.14)$$

Итого,

$$\langle 101|L_+|000\rangle = -2\sqrt{\hbar^3 m\omega^3(z_0)} \int_0^{+\infty} \zeta_1(z) \left(\frac{m\omega(z_0)}{\hbar} z + \frac{\partial}{\partial z} \right) \zeta_0(z) dz. \quad (4.15)$$

¹⁾В силу разных n_z и n'_z интеграл, содержащий $z_0 = \text{const}$, равен нулю.

4.2 Состояние $|001\rangle$

4.2.1 Диагональный элемент

$$\langle 001|L_+|001\rangle = 0. \quad (4.16)$$

4.2.2 Недиагональные элементы

Элемент $\langle 000|L_+|001\rangle$

$$\langle 000|L_+|001\rangle = 0. \quad (4.17)$$

Элемент $\langle 100|L_+|001\rangle$

$$\langle 100|\ell_+^{(1)}|001\rangle = 2 \left(\frac{m\omega}{\hbar} \right)^{-1/2} \int_0^{+\infty} \zeta_0(z) \frac{d\zeta_1(z)}{dz} dz, \quad (4.18)$$

в силу чётности подынтегральной функции. Аналогично,

$$\langle 100|\ell_+^{(2)}|001\rangle = -2 \left(\frac{m\omega}{\hbar} \right)^{1/2} \int_0^{+\infty} \zeta_0(z) \zeta_1(z) \cdot z dz. \quad (4.19)$$

$$\langle 100|\ell_+^{(3)}|001\rangle = 0. \quad (4.20)$$

Итого,

$$\langle 100|\ell_+|001\rangle = -2\sqrt{\hbar^3 m \omega^3(z_0)} \int_0^{+\infty} \zeta_0(z) \left(\frac{m\omega(z_0)}{\hbar} z + \frac{\partial}{\partial z} \right) \zeta_1(z) dz. \quad (4.21)$$

Элемент $\langle 101|L_+|001\rangle$

$$\langle 101|\ell_+^{(1)}|001\rangle = \left(\frac{m\omega}{\hbar} \right)^{-1/2} \int_{-\infty}^{+\infty} \zeta_1(z) \frac{d\zeta_1(z)}{dz} dz = 0, \quad (4.22)$$

в силу нечётности подынтегральной функции. Аналогично,

$$\langle 101|\ell_+^{(2)}|001\rangle = -\left(\frac{m\omega}{\hbar}\right)^{1/2} \int_{-\infty}^{+\infty} \zeta_1(z)\zeta_1(z)(|z| - z_0) \operatorname{sgn}(z) dz = 0. \quad (4.23)$$

Также

$$\langle 101|\ell_+^{(3)}|001\rangle = 0. \quad (4.24)$$

Итого,

$$\langle 101|L_+|001\rangle = 0. \quad (4.25)$$

4.3 Состояние $|100\rangle$

4.3.1 Диагональный элемент

$$\langle 100|L_+|100\rangle = 0, \quad (4.26)$$

в силу одинаковости числа $n_\varphi = 1$.

4.3.2 Недиагональные элементы

Элемент $\langle 000|L_+|100\rangle$

$$\langle 000|L_+|100\rangle = 0, \quad (4.27)$$

в силу $\frac{1}{2\pi} \int_0^{2\pi} 1 \cdot e^{i\varphi} e^{i\varphi} d\varphi = 0$.

Элемент $\langle 001|L_+|100\rangle$

Аналогично элементу выше,

$$\langle 001|L_+|100\rangle = 0. \quad (4.28)$$

Элемент $\langle 101|L_+|100\rangle$

Аналогично диагональному элементу,

$$\langle 101|L_+|100\rangle = 0. \quad (4.29)$$

4.4 Состояние $|1\ 0\ 1\rangle$

Аналогично состоянию $|1\ 0\ 0\rangle$ все матричные элементы состояния $|1\ 0\ 1\rangle$ равны нулю.

4.5 Матрица элементов

$\frac{L_+}{-\sqrt{\hbar^3 m \omega^3(z_0)}}$	$ 0\ 0\ 0\rangle$	$ 0\ 0\ 1\rangle$	$ 1\ 0\ 0\rangle$	$ 1\ 0\ 1\rangle$	\dots
$\langle 0\ 0\ 0 $	0	0	0	0	
$\langle 0\ 0\ 1 $	0	0	0	0	
$\langle 1\ 0\ 0 $	0	$\langle \zeta_0 \frac{m\omega(z_0)}{\hbar} z + \frac{\partial}{\partial z} \zeta_1 \rangle$	0	0	
$\langle 1\ 0\ 1 $	$\langle \zeta_1 \frac{m\omega(z_0)}{\hbar} z + \frac{\partial}{\partial z} \zeta_0 \rangle$	0	0	0	
\vdots					

Таблица 4.1 — Условное изображение матричных элементов $\langle L_+ \rangle$.

5 Матричный элемент $\ell_- \mathbf{s}_+$

По построению

$$\ell_- = -\ell_+^*, \quad (5.1)$$

поэтому

$$\langle n'_\varphi n'_\rho n'_z | \ell_- | n_\varphi n_\rho n_z \rangle = - [\langle n_\varphi n_\rho n_z | \ell_+ | n'_\varphi n'_\rho n'_z \rangle]^*, \quad (5.2)$$

что в матричном виде условно можно записать как

$$\langle \ell_- \rangle = -\langle \ell_+ \rangle^\dagger. \quad (5.3)$$

Сохраняя соответствие между строками и столбцами из таблицы 4.1, получим матрицу элементов для оператора L_- :

$$\frac{\langle L_- \rangle}{-\sqrt{\hbar^3 m \omega^3(z_0)}} = \begin{bmatrix} 0 & 0 & 0 & -\langle \zeta_0 | \mathfrak{z}_0 | \zeta_1 \rangle \\ 0 & 0 & -\langle \zeta_1 | \mathfrak{z}_0 | \zeta_0 \rangle & 0 \\ 0 & 0 & 0 & 0 \\ 0 & 0 & 0 & 0 \end{bmatrix}, \quad (5.4)$$

где $\mathfrak{z}_0 = \frac{m\omega(z_0)}{\hbar}z + \frac{\partial}{\partial z}$.

6 Элементы ℓ_-s_+ и ℓ_+s_- для полной волновой функции

Для полной волновой функции $\Phi_{n_\varphi n_\rho n_z}(\varphi, \rho, z, s) = \phi_{n_\varphi n_\rho n_z}(\varphi, \rho, z)\sigma(s)$ матричные элементы равны

$$\langle n'_\varphi n'_\rho n'_z s' | \ell_+ s_- | n_\varphi n_\rho n_z s \rangle = \langle \ell_+ \rangle \delta_{s', s-1}, \quad (6.1a)$$

$$\langle n'_\varphi n'_\rho n'_z s' | \ell_- s_+ | n_\varphi n_\rho n_z s \rangle = \langle \ell_- \rangle \delta_{s', s+1}. \quad (6.1b)$$

7 Матричные элементы спин-орбитального оператора

Имеем матричные элементы для полной волновой функции $\Phi_{n_\varphi n_\rho n_z}(\varphi, \rho, z, s)$.

$$\langle n'_\varphi n'_\rho n'_z s' | \ell_z s_z | n_\varphi n_\rho n_z s \rangle = s n_\varphi \cdot \delta_{n'_\varphi, n_\varphi} \delta_{n'_\rho, n_\rho} \delta_{n'_z, n_z} \delta_{s', s}. \quad (7.1a)$$

Запишем матричные элементы в виде матрицы, соответствующей расположению строк и столбцов таблицы 4.1, включая проекцию спина. Первый столбец будет соответствовать вектору состояния $|000 -1/2\rangle$, второй столбец — $|000 +1/2\rangle$, третий — $|001 -1/2\rangle$ и так далее.

$$\begin{aligned} & \langle n'_\varphi n'_\rho n'_z s' | \ell_+ s_- | n_\varphi n_\rho n_z s \rangle = \\ & = \begin{bmatrix} 0 & 0 & 0 & 0 & 0 & 0 & 0 & 0 \\ 0 & 0 & 0 & 0 & 0 & 0 & 0 & 0 \\ 0 & 0 & 0 & 0 & 0 & 0 & 0 & 0 \\ 0 & 0 & 0 & 0 & 0 & 0 & 0 & 0 \\ 0 & 0 & 0 & -\langle \zeta_0 | \mathfrak{z}_1 | \zeta_1 \rangle & 0 & 0 & 0 & 0 \\ 0 & 0 & 0 & 0 & 0 & 0 & 0 & 0 \\ 0 & -\langle \zeta_1 | \mathfrak{z}_1 | \zeta_0 \rangle & 0 & 0 & 0 & 0 & 0 & 0 \\ 0 & 0 & 0 & 0 & 0 & 0 & 0 & 0 \end{bmatrix}, \quad (7.1b) \end{aligned}$$

где $\mathfrak{z}_1 = \sqrt{\frac{\hbar}{m\omega}} \left(\frac{m\omega}{\hbar} z + \frac{\partial}{\partial z} \right)$.
Из (5.3) получим

$$\begin{aligned} & \langle n'_\varphi n'_\rho n'_z s' | \ell_- s_+ | n_\varphi n_\rho n_z s \rangle = \\ & = \begin{bmatrix} 0 & 0 & 0 & 0 & 0 & 0 & 0 & 0 \\ 0 & 0 & 0 & 0 & 0 & 0 & \langle \zeta_1 | \mathfrak{z}_1 | \zeta_0 \rangle & 0 \\ 0 & 0 & 0 & 0 & 0 & 0 & 0 & 0 \\ 0 & 0 & 0 & 0 & \langle \zeta_0 | \mathfrak{z}_1 | \zeta_1 \rangle & 0 & 0 & 0 \\ 0 & 0 & 0 & 0 & 0 & 0 & 0 & 0 \\ 0 & 0 & 0 & 0 & 0 & 0 & 0 & 0 \\ 0 & 0 & 0 & 0 & 0 & 0 & 0 & 0 \\ 0 & 0 & 0 & 0 & 0 & 0 & 0 & 0 \end{bmatrix}. \quad (7.1c) \end{aligned}$$

8 Гамильтониан системы со спин-орбитальным взаимодействием

Гамильтониан системы имеет вид

$$\hat{\mathcal{H}} = \hat{\mathcal{H}}_0 + V_1(\boldsymbol{\ell}, \mathbf{s}), \quad (8.1)$$

где $\hat{\mathcal{H}}_0$ — гамильтониан чистого двухцентрового осциллятора.

Так, его матричный элемент имеет вид

$$\begin{aligned} \langle n'_\varphi n'_\rho n'_z s' | \hat{\mathcal{H}} | n_\varphi n_\rho n_z s \rangle &= E_{n_\varphi n_\rho n_z}^0(z_0) \cdot \delta_{n'_\varphi, n_\varphi} \delta_{n'_\rho, n_\rho} \delta_{n'_z, n_z} \delta_{s', s} - \varkappa \hbar \omega(z_0) \times \\ &\times \left(\langle n'_\varphi n'_\rho n'_z | \ell_+ | n_\varphi n_\rho n_z \rangle \delta_{s', s-1} + \langle n'_\varphi n'_\rho n'_z | \ell_- | n_\varphi n_\rho n_z \rangle \delta_{s', s+1} + 2s n_\varphi \cdot \delta_{n'_\varphi, n_\varphi} \delta_{n'_\rho, n_\rho} \delta_{n'_z, n_z} \delta_{s', s} \right), \end{aligned} \quad (8.2)$$

где $E_{n_\varphi n_\rho n_z}^0(z_0) = \hbar \omega(z_0) (n_z(z_0) + 2n_\rho + |n_\varphi| + 3/2)$ — энергетические уровни чистого двухцентрового осциллятора.

Выпишем *ненулевые* матричные элементы.

$$\langle 000 -1/2 | \hat{\mathcal{H}} | 000 -1/2 \rangle = E_{000}^0, \quad (8.3a)$$

$$\langle 000 +1/2 | \hat{\mathcal{H}} | 000 +1/2 \rangle = E_{000}^0, \quad \langle 101 -1/2 | \hat{\mathcal{H}} | 000 +1/2 \rangle = +\varkappa \hbar \omega \langle \zeta_1 | \mathfrak{z}_1 | \zeta_0 \rangle, \quad (8.3b)$$

$$\langle 001 -1/2 | \hat{\mathcal{H}} | 001 -1/2 \rangle = E_{001}^0, \quad (8.3c)$$

$$\langle 001 +1/2 | \hat{\mathcal{H}} | 001 +1/2 \rangle = E_{001}^0, \quad \langle 100 -1/2 | \hat{\mathcal{H}} | 001 +1/2 \rangle = +\varkappa \hbar \omega \langle \zeta_0 | \mathfrak{z}_1 | \zeta_1 \rangle, \quad (8.3d)$$

$$\langle 100 -1/2 | \hat{\mathcal{H}} | 100 -1/2 \rangle = E_{100}^0 + \varkappa \hbar \omega, \quad \langle 001 +1/2 | \hat{\mathcal{H}} | 100 -1/2 \rangle = -\varkappa \hbar \omega \langle \zeta_0 | \mathfrak{z}_1 | \zeta_1 \rangle, \quad (8.3e)$$

$$\langle 100 +1/2 | \hat{\mathcal{H}} | 100 +1/2 \rangle = E_{100}^0 - \varkappa \hbar \omega, \quad (8.3f)$$

$$\langle 101 -1/2 | \hat{\mathcal{H}} | 101 -1/2 \rangle = E_{101}^0 + \varkappa \hbar \omega, \quad \langle 000 +1/2 | \hat{\mathcal{H}} | 101 -1/2 \rangle = -\varkappa \hbar \omega \langle \zeta_1 | \mathfrak{z}_1 | \zeta_0 \rangle, \quad (8.3g)$$

$$\langle 101 +1/2 | \hat{\mathcal{H}} | 101 +1/2 \rangle = E_{101}^0 - \varkappa \hbar \omega, \quad (8.3h)$$

где константа $\varkappa = 0,05$ взята из оригинальной работы Nilsson [11].

9 Энергетические уровни в первом порядке

9.1 Уровень E_{000}^0

Состояние с квантовыми числами $n_\varphi = n_\rho = n_z(z_0 = 0) = 0$ является вырожденным только по проекции спина $s = \pm 1/2$.

Тогда, новая волновая функция в первом приближении имеет вид

$$|\psi\rangle = \sum_{k=\pm 1/2} a_k |000k\rangle. \quad (9.1)$$

Подставляя данное разложение в уравнение $\hat{\mathcal{H}}|\psi\rangle = E|\psi\rangle$, получим уравнение на новые энергетические уровни в первом приближении:

$$\begin{vmatrix} E_{000}^0 - E & 0 \\ 0 & E_{000}^0 - E \end{vmatrix} = 0. \quad (9.2)$$

Таким образом, вырождение уровней в первом приближении не снялось — имеем два уровня¹⁾

$$E_{1,2}^{(2)} = E_{000}^0. \quad (9.3)$$

9.2 Уровень E_{001}^0

Состояние $n_\varphi = n_\rho = 0, n_z(z_0 = 0) = 1$ вырождено по проекции спина s и по квантовым числам n_φ, n_z . Волновая функция в первом приближении имеет вид

$$|\psi\rangle = \sum_{\substack{q=(001), (100) \\ p=\pm 1/2}} a_{qp} |qp\rangle. \quad (9.4)$$

Уравнение $\hat{\mathcal{H}}|\psi\rangle = E|\psi\rangle$ приводит к уравнению на энергетические уровни вида

$$\begin{vmatrix} E_{001}^0 - E & 0 & 0 & 0 \\ 0 & E_{001}^0 - E & -\varkappa\varepsilon & 0 \\ 0 & \varkappa\varepsilon & E_{100}^0 - E + \varkappa\hbar\omega & 0 \\ 0 & 0 & 0 & E_{100}^0 - E - \varkappa\hbar\omega \end{vmatrix} = 0, \quad (9.5)$$

¹⁾Будем обозначать j -ый полученный уровень как $E_j^{(r)}$, где r — кратность вырождения уровня невозмущенного гамильтониана, из волновых функций которого было получено соответствующее секулярное уравнение.

где $\varepsilon = \hbar\omega \langle \zeta_0 | \mathfrak{z}_1 | \zeta_1 \rangle$. Получим четыре уровня

$$E_1^{(4)} = E_{001}^0, \quad (9.6a)$$

$$E_2^{(4)} = E_{100}^0 - \varkappa\hbar\omega, \quad (9.6b)$$

$$E_{3,4}^{(4)} = \frac{E_{100}^0 + E_{001}^0 + \varkappa\hbar\omega \pm \sqrt{(E_{100}^0 + E_{001}^0 + \varkappa\hbar\omega)^2 - 4(\varkappa^2\varepsilon^2 + E_{001}^0(E_{100}^0 + \varkappa\hbar\omega))}}{2}. \quad (9.6c)$$

Приближая (9.6c) до слагаемых первого порядка по \varkappa , получим

$$E_1^{(4)} = E_{001}^0, \quad (9.7a)$$

$$E_2^{(4)} = E_{100}^0 - \varkappa\hbar\omega, \quad (9.7b)$$

$$E_{3,4}^{(4)} \approx \frac{E_{100}^0 + E_{001}^0 + \varkappa\hbar\omega \pm \sqrt{(E_{100}^0 - E_{001}^0)^2 + 2\varkappa\hbar\omega \cdot (E_{100}^0 - E_{001}^0)}}{2}. \quad (9.7c)$$

9.3 Уровень E_{101}^0

Состояние $n_\varphi = 1, n_\rho = 0, n_z(z_0 = 0) = 1$ вырождено по всем квантовыми числам (включая проекцию спина). При рассмотрении ограниченного количества волновых функций получим оценочные энергетические уровни, поскольку в новую волновую функцию не будут включены *все* волновые функции, соответствующие вырожденным уровням:

$$|\psi\rangle \sim \sum_{k=\pm 1/2} |101k\rangle. \quad (9.8)$$

Соответствующее секулярное уравнение приведёт к уровням

$$E_1^{(8)} \sim E_{101}^0 + \varkappa\hbar\omega, \quad (9.9a)$$

$$E_2^{(8)} \sim E_{101}^0 - \varkappa\hbar\omega. \quad (9.9b)$$

9.4 Уровни в зависимости от параметра растяжения

Изобразим полученные уровни.

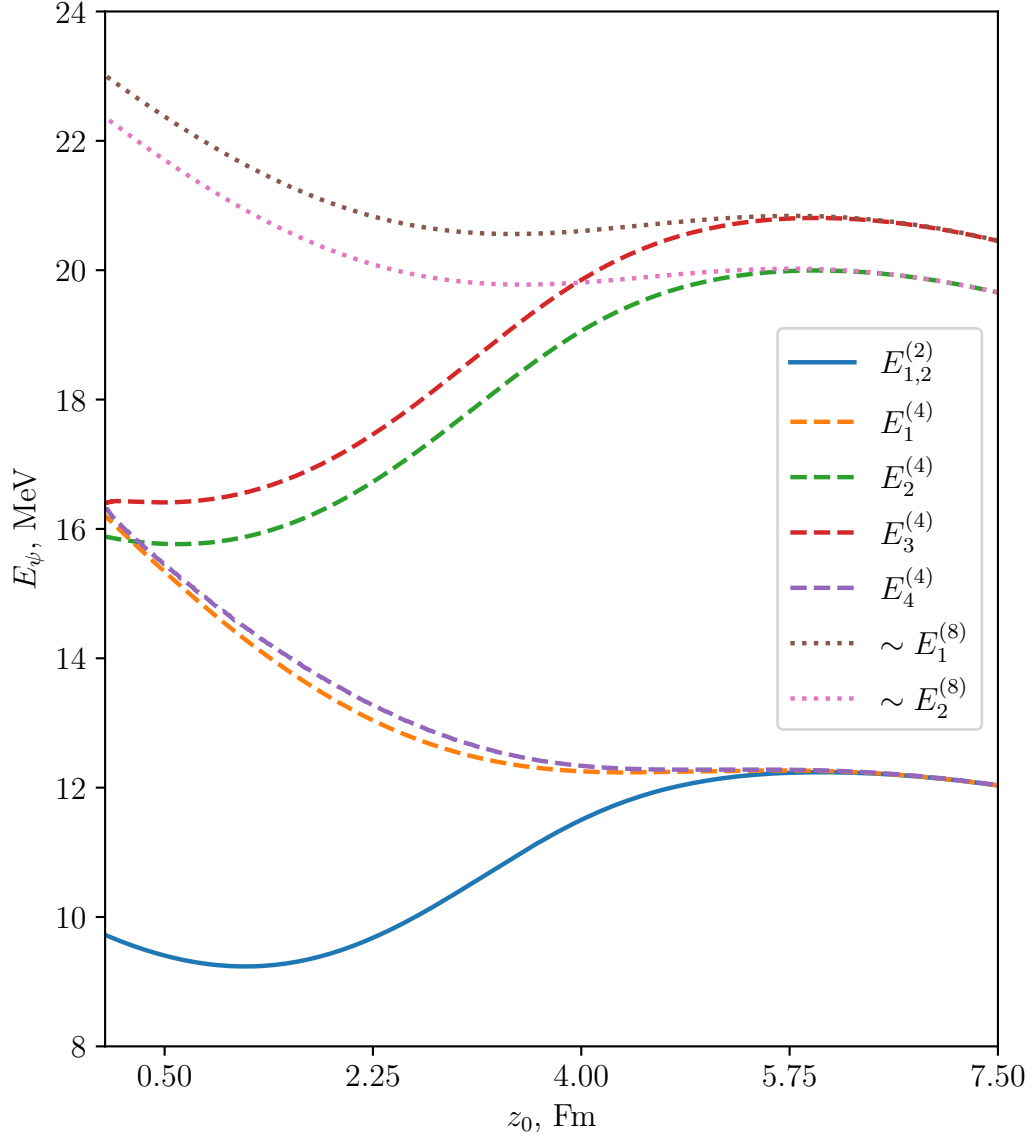


Рисунок 9.1 — Энергетические уровни двухцентрового осциллятора со спин-орбитальным взаимодействием в первом приближении.

Видно, что двукратно вырожденный уровень E_{000}^0 остался вырожденным, а с четырёхкратно вырожденного уровня E_{100}^0 полностью снялось вырождение, причём появился уровень $E_2^{(4)}(z_0 = 0) < E_{100}^0(z_0 = 0)$. С восьмикратно вырожденного E_{101}^0 в рассматриваемом оценочном приближении вырождение снимается частично.

10 Энергетические уровни во втором порядке

Для состояния из раздела 9.1 новые состояния $|\psi_{000k}\rangle = a_k |000k\rangle$ в сумме $\sum_{k=\pm 1/2} |\psi_{000k}\rangle = |\psi\rangle$ останутся вырожденными по энергии $E_{1,2}^{(2)} \equiv E_{-1/2,+1/2}^{(2)}$.

Соответственно, коэффициенты a_k останутся неопределёнными. Их всегда можно выбрать такими, чтобы $\langle \psi_{000m} | \psi_{000k} \rangle = \delta_{mk}$. Тогда, поправки к энергии второго порядка по общей формуле будут иметь вид

$$\left[E_k^{(2)} \right]^{(2)} = \sum_{\langle \omega | \neq \langle \psi_{000k} |} \frac{|\langle \omega | V_{ls} | \psi_{000k} \rangle|^2}{E_k^{(2)} - E_\omega}, \quad (10.1)$$

где сумма производится по состояниям $\langle \omega | = \langle \psi_{000-1/2} |, \langle \psi_{000+1/2} |, \langle 001-1/2 |, \dots$, а энергии E_ω — энергии соответствующих состояний $|\omega\rangle$.

Вычисляя их и не пренебрегая слагаемыми порядка $\sim \varkappa^2$ в (9.6с), получим уровни

$$E_1^{(2)} = E_{000}^0, \quad (10.2a)$$

$$E_2^{(2)} = E_{000}^0 + \frac{\varkappa^2 \tilde{\varepsilon}^2}{E_{000}^0 - E_{101}^0}, \quad (10.2b)$$

$$E_1^{(4)} = E_{001}^0, \quad (10.3a)$$

$$E_2^{(4)} = E_{100}^0 - \varkappa \hbar \omega, \quad (10.3b)$$

$$E_{3,4}^{(4)} = \frac{E_{100}^0 + E_{001}^0 + \varkappa \hbar \omega \pm \sqrt{(E_{100}^0 + E_{001}^0 + \varkappa \hbar \omega)^2 - 4(\varkappa^2 \tilde{\varepsilon}^2 + E_{001}^0 (E_{100}^0 + \varkappa \hbar \omega))}}{2}, \quad (10.3c)$$

$$E_1^{(8)} \sim E_{101}^0 + \varkappa \hbar \omega, \quad (10.4a)$$

$$E_2^{(8)} \sim E_{101}^0 - \varkappa \hbar \omega, \quad (10.4b)$$

где $\tilde{\varepsilon} = \hbar \omega \langle \zeta_1 | \mathfrak{J}_1 | \zeta_0 \rangle$.

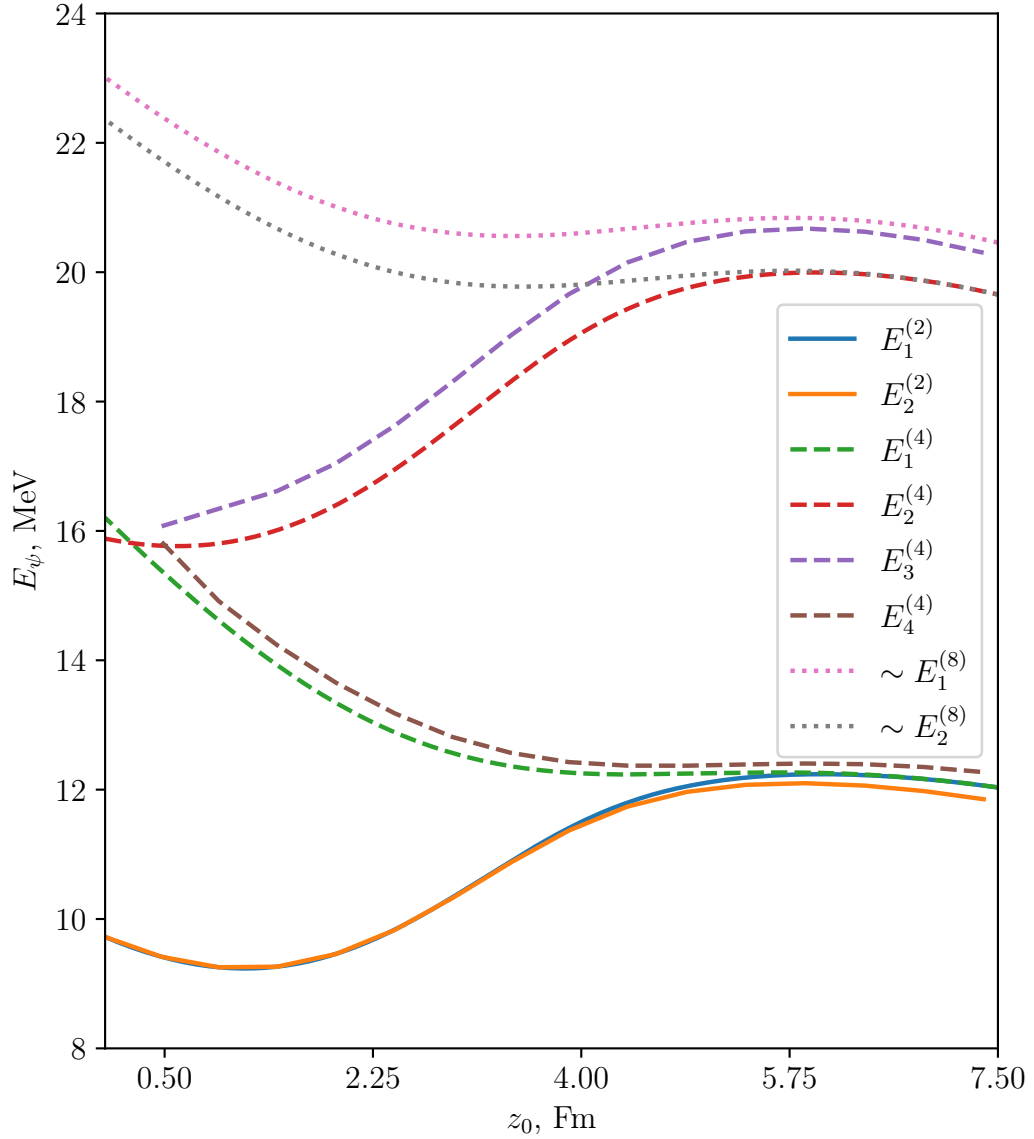


Рисунок 10.1 — Энергетические уровни двухцентрового осциллятора со спин-орбитальным взаимодействием во втором приближении.

Рисунки 9.1 и 10.1 в основном отличаются тем, что во втором приближении полностью снимается вырождение с уровнями $E_{1,2}^{(2)}$.

Различие в изображении уровней $E_{3,4}^{(4)}$ (в частности тот факт, что кривые начинаются не из $z_0 = 0$) главным образом заключается в накопленных ошибках при численном вычислении слагаемых, содержащих матричные элементы ε и $\tilde{\varepsilon}$.

11 Изучение комплекса TALYS-1.9

К анализу реакций

- a) $^{91}\text{Zr}(n, p)^{91m/g}\text{Y}$;
- b) $^{91}\text{Zr}(n, n + \alpha)^{87m/g}\text{Sr}$;
- c) $^{115}\text{In}(n, 2n)^{114m/g}\text{In}$;
- d) $^{115}\text{In}(n, n')^{115m/g}\text{In}$.

были привлечены следующие данные:

1. результаты расчёта сечений реакции с выходом как основного (g), так и изомерного (m) состояний, выполненные программой TALYS-1.9 с параметрами `ldmodel 1/2/3`, `fullhf`, `optmodall` в зависимости от энергии падающего нейтрона от порога реакции до 20 МэВ;
2. оценённые зависимости сечений от энергии нейтронов (до 20 МэВ) из базы данных ENDF из библиотек TENDL-2021, IRDFF-II;
3. все экспериментальные данные, относящиеся к энергии нейтронов до 20 МэВ, из базы данных EXFOR.

11.1 Образование ^{91}Y

На рисунках 11.1 и 11.2 представлены сечения выхода основного (g) и изомерного (m) состояний соответственно ядра ^{91}Y в зависимости от энергии нейтрона: расчёт по TALYS-1.9, а также данные из ENDF и EXFOR. В наиболее интересующей нас области 10–15 МэВ имеет место хорошее согласие рассчитанного по TALYS-1.9 сечения выхода изомерного (m) состояния с оценёнными сечениями экспериментальными данными из EXFOR.

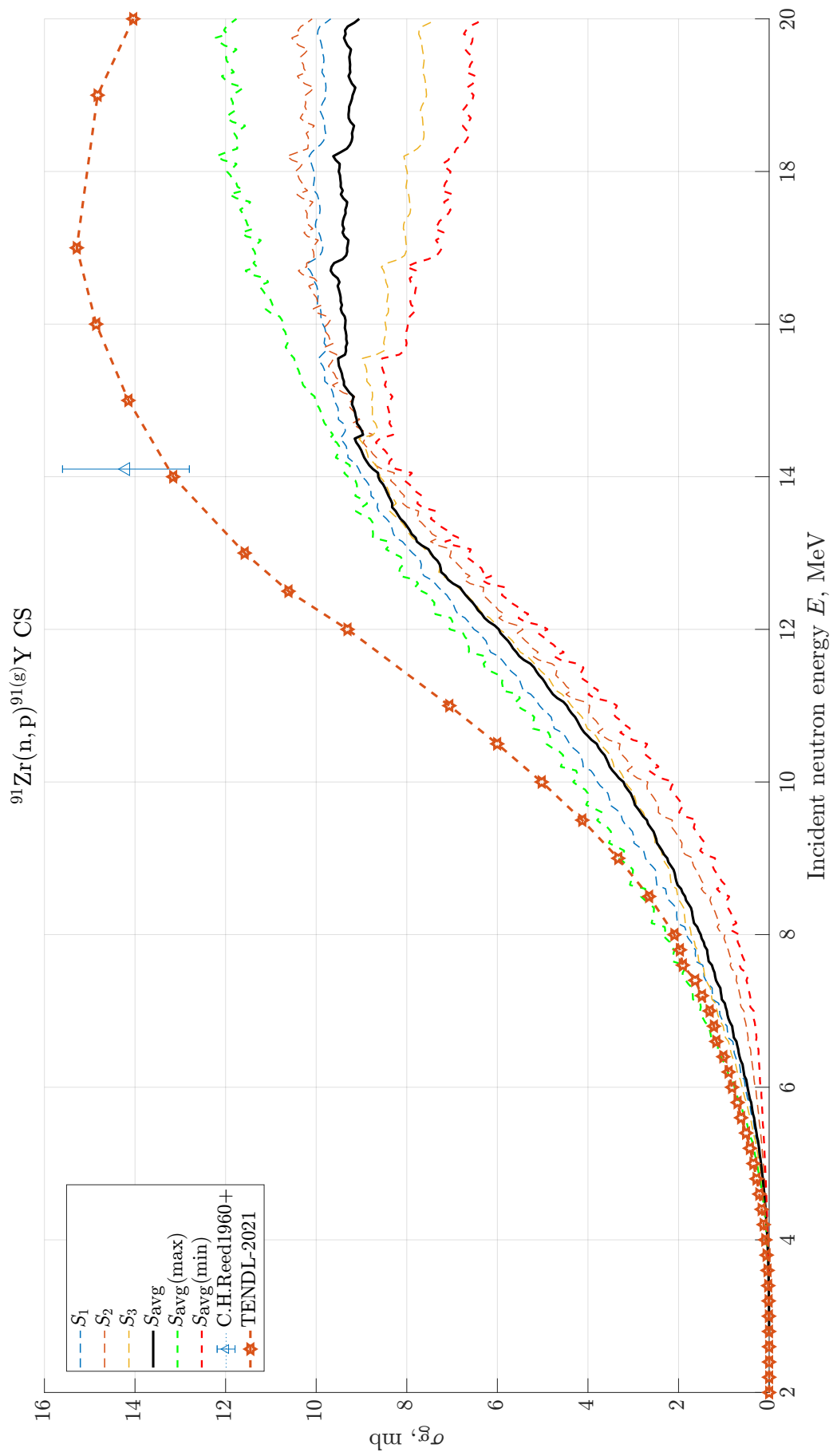


Рисунок 11.1 — Сечение выхода основного (g) состояния ядра ^{91}Y в реакции $^{91}\text{Zr}(n, p)^{91}\text{Y}$ в зависимости от энергии нейтрона.

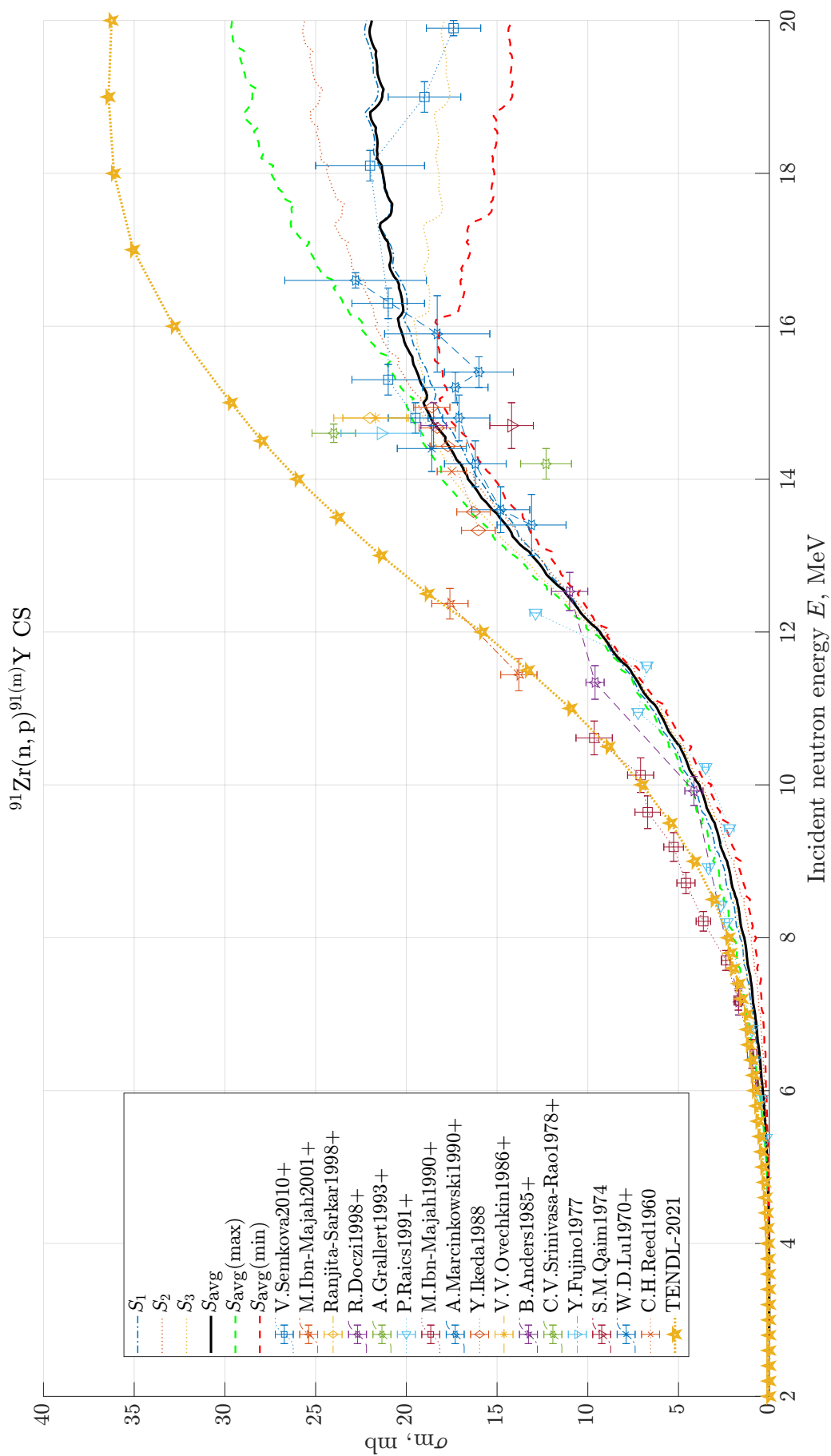


Рисунок 11.2 — Сечение выхода изомерного (m) состояния ядра ^{91}Y в реакции $^{91}\text{Zr}(n, p)^{91}\text{Y}$ в зависимости от энергии нейтрона.

11.2 Образование ^{87}Sr

На рисунках 11.3 и 11.4 представлены сечения выхода основного (g) и изомерного (m) состояний соответственно ядра ^{87}Sr в зависимости от энергии нейтрона: расчёт по TALYS-1.9, а также данные из ENDF и EXFOR. На обоих рисунках видно, что, используя заложенные модели в комплекс TALYS-1.9, можно получать хорошие оценки сечений рассматриваемых реакций, укладывающиеся в разброс экспериментальных данных.

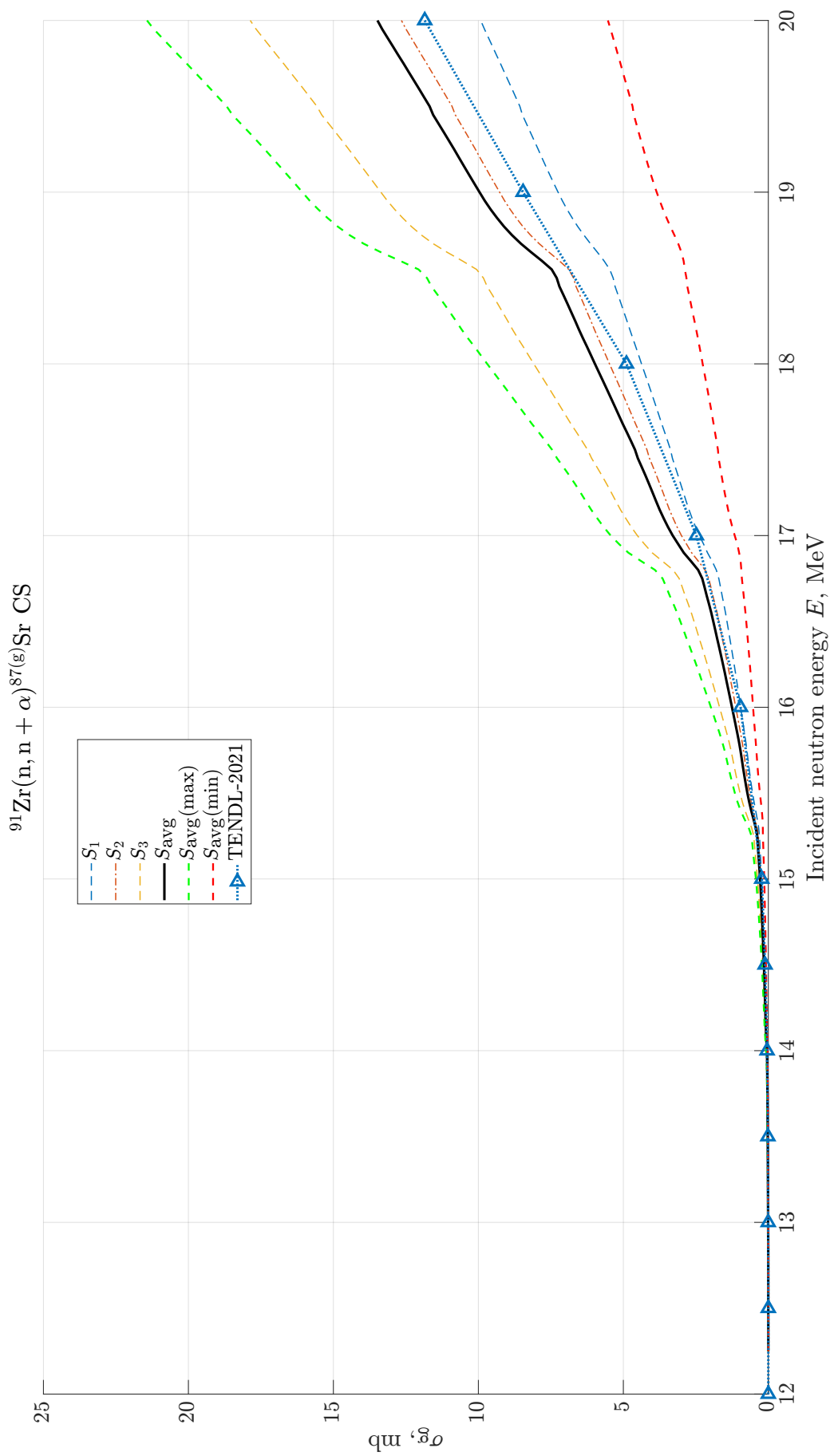


Рисунок 11.3 — Сечение выхода основного (g) состояния ядра ^{87}Sr в реакции $^{91}\text{Zr}(n, n + \alpha)^{87}\text{Sr}$ в зависимости от энергии нейтрона.

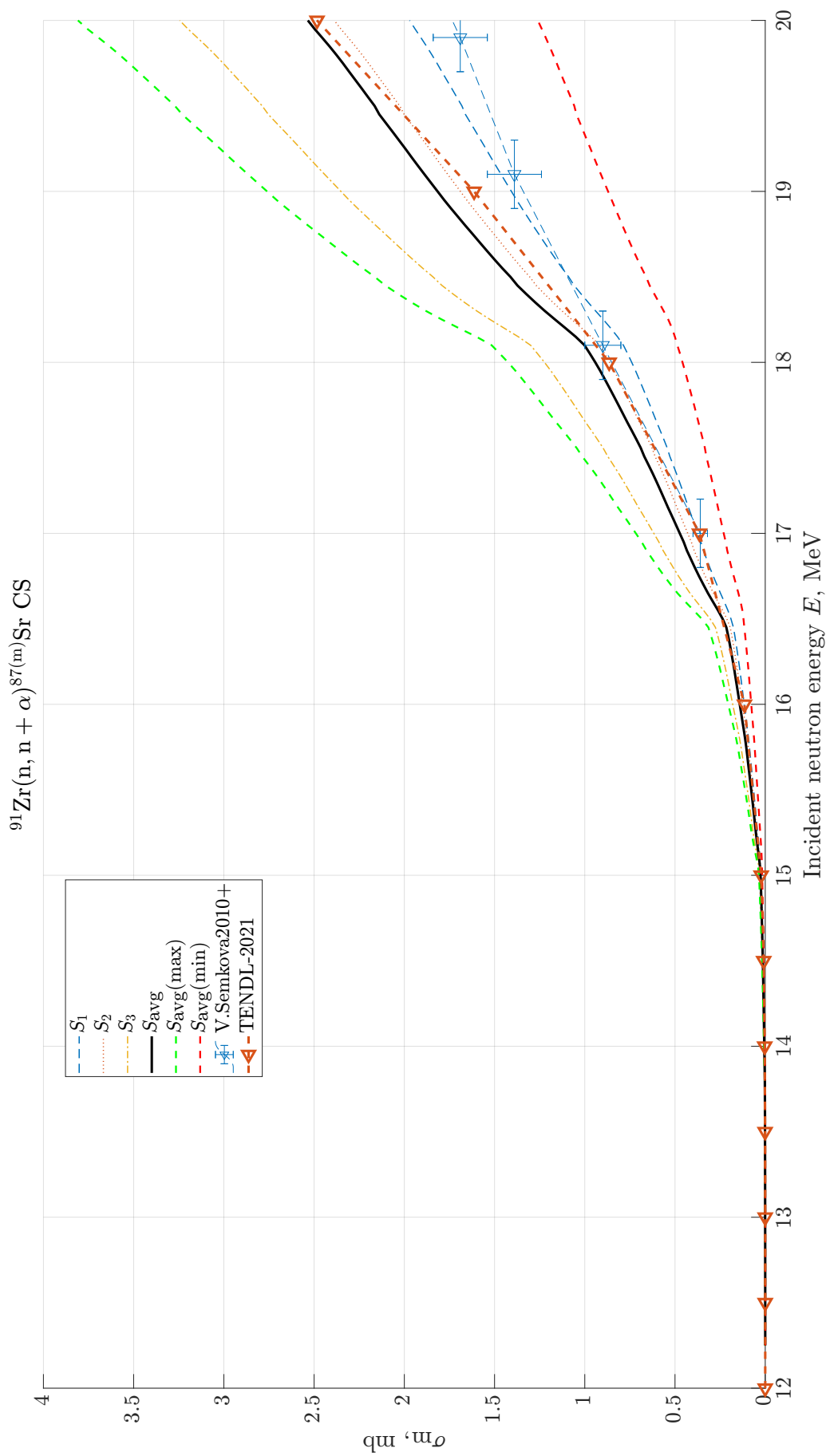


Рисунок 11.4 — Сечение выхода изомерного (m) состояния ядра ^{87}Sr в реакции $^{91}\text{Zr}(n, n + \alpha)^{87}\text{Sr}$ в зависимости от энергии нейтрона.

11.3 Образование ^{114}In

На рисунках 11.5 и 11.6 представлены сечения выхода основного (g) и изомерного (m) состояний соответственно ядра ^{114}In в зависимости от энергии нейтрона: расчёт по TALYS-1.9, а также данные из ENDF и EXFOR. На всех этих рисунках видно схожее поведение кривых, соответствующих сечению, рассчитанному по TALYS-1.9, и оцененным сечениям. Основной массив экспериментальных данных подтверждает правильность расчёта и оценок.

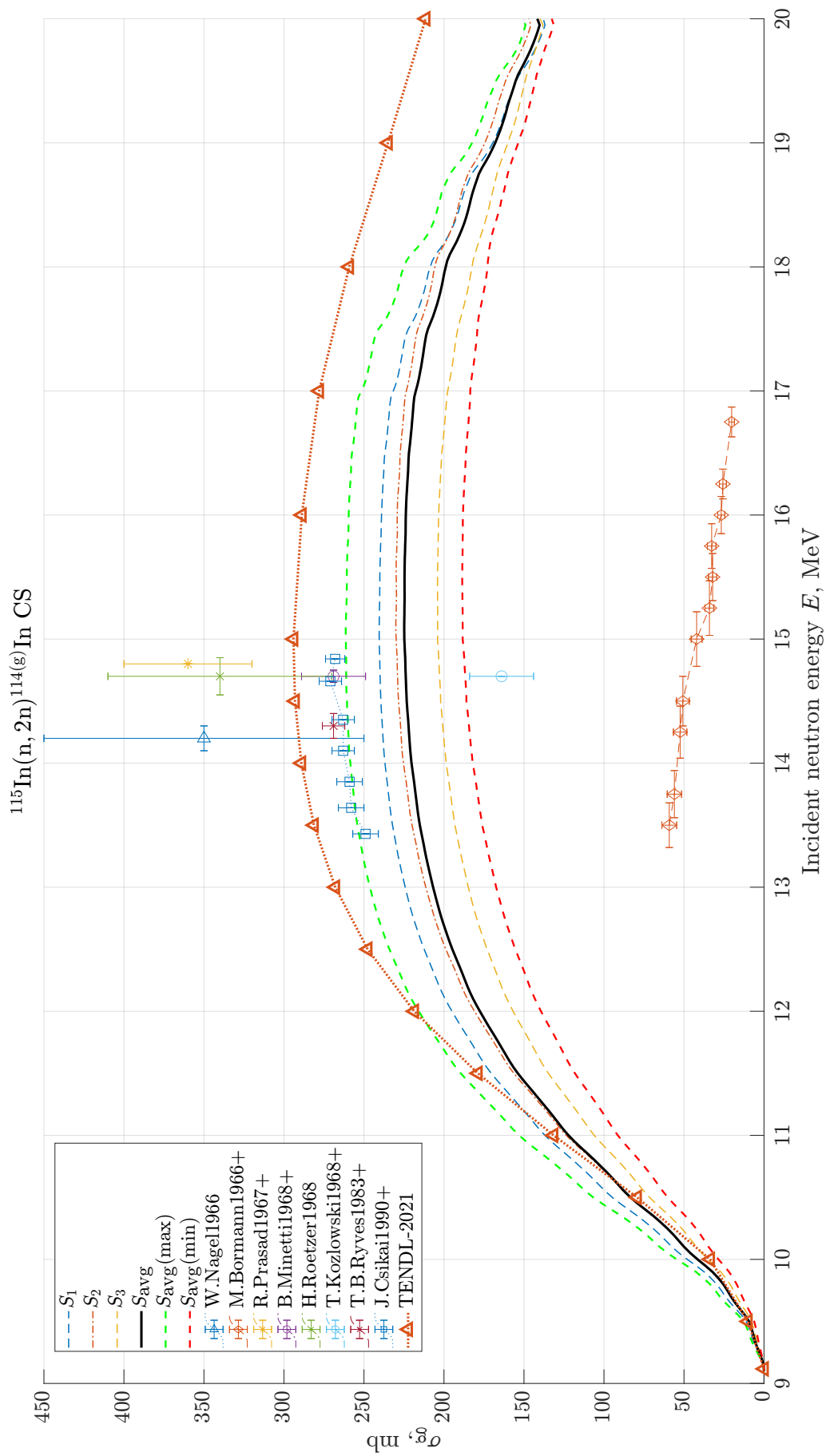


Рисунок 11.5 — Сечение выхода основного (g) состояния ядра ^{114}In в реакции $^{115}\text{In}(n, 2n)^{114}\text{In}$ в зависимости от энергии нейтрона.

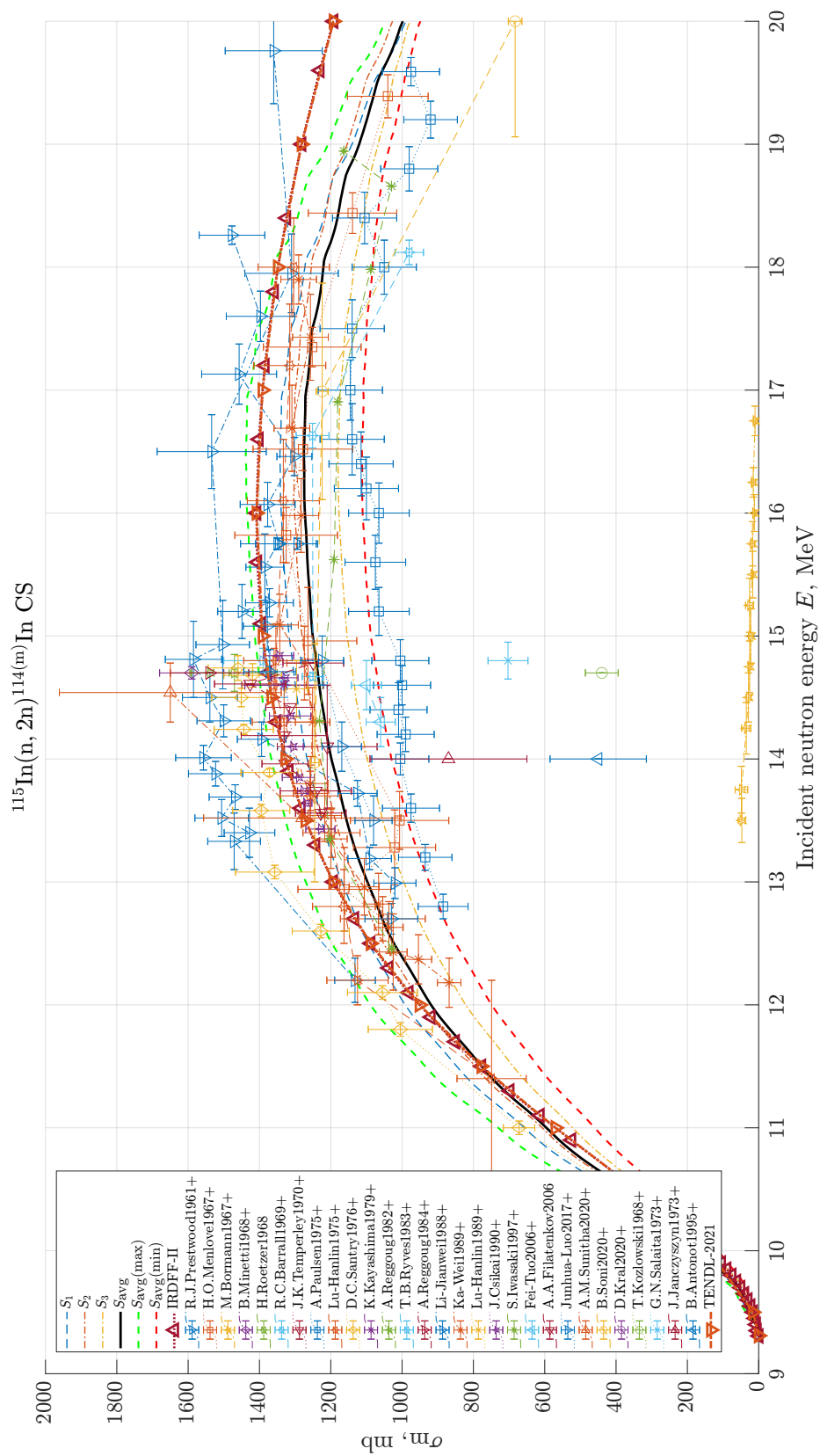


Рисунок 11.6 — Сечение выхода изомерного (m) состояния ядра ^{114}In в реакции $^{115}\text{In}(n, 2n)^{114}\text{In}$ в зависимости от энергии нейтрона.

11.4 Образование ^{115}In

На рисунках 11.7 и 11.8 представлены сечения выхода основного (g) и изомерного (m) состояний соответственно ядра ^{115}In в зависимости от энергии нейтрона: расчёт по TALYS-1.9, а также данные из ENDF и EXFOR. На данных рисунках видно проблемное для комплекса TALYS-1.9 поведение кривых: ни при какой модели плотности уровней ядра двугорбую форму сечения получить не удалось.

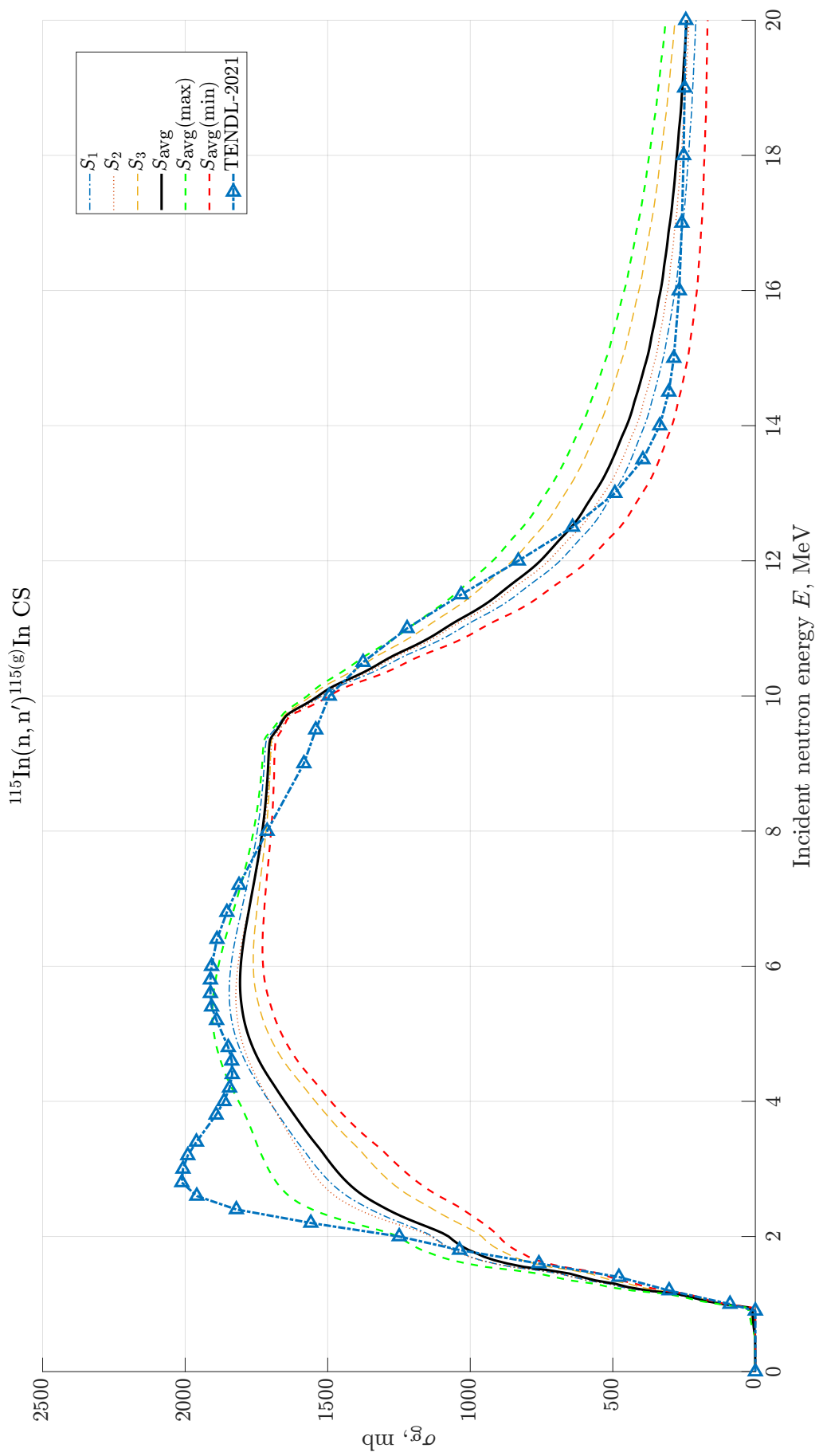


Рисунок 11.7 — Сечение выхода основного (g) состояния ядра ^{115}In в реакции $^{115}\text{In}(n, n')^{115}\text{In}$ в зависимости от энергии нейтрона.

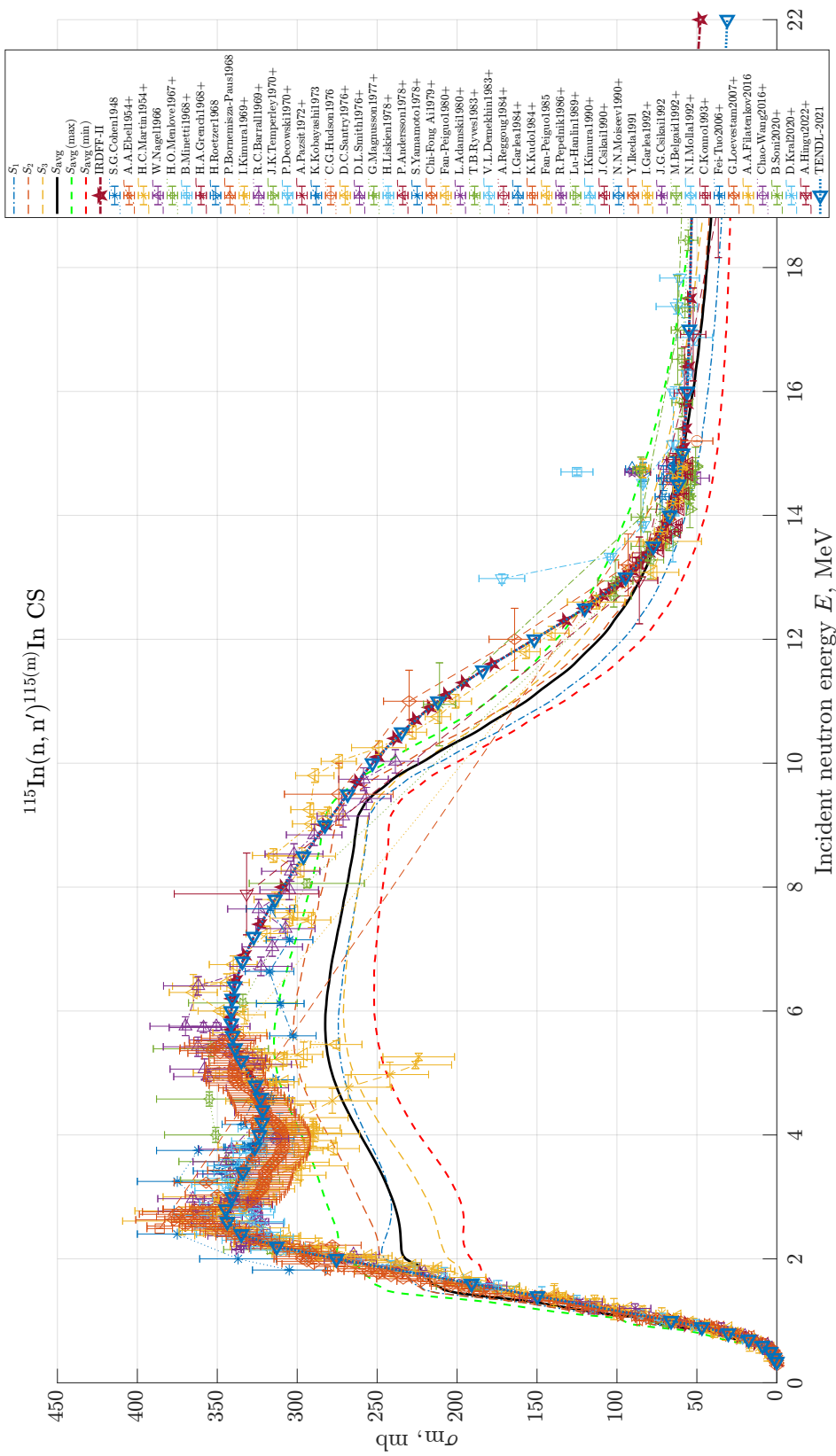


Рисунок 11.8 — Сечение выхода основного (g) состояния ядра $^{115}\text{In}(n, n')^{115}\text{In}$ в зависимости от энергии нейтрона.

Заключение

Таким образом, в данной работе была рассмотрена задача симметричного двухцентрового осциллятора со введённым потенциалом ядерного спин-орбитального взаимодействия и были получены новые энергетические уровни при рассмотрении соответствующих уравнений на ограниченном количестве волновых функций. Полученные уровни, изображённые на рисунках 9.1 и 10.1, отражают похожие уровни из работы [6, Fig. 5].

Следующим шагом развития модели будет служить рассмотрение задачи со спин-орбитальным взаимодействием в общем случае, на неограниченном базисе из волновых функций невозмущённой задачи двухцентрового осциллятора, а также введение ℓ^2 -слагаемого с целью получения энергетических уровней наиболее приближенных к реальным уровням делящегося ядра.

Во второй части данной работы выполненный анализ показал, что в качестве количественной оценки «разумной точности» воспроизведения расчётами TALYS-1.9 как экспериментальных данных (из EXFOR), так и оценок из IRDFF-II, может выступать характерный разброс расчётных значений сечений для разных моделей плотности уровней ядер `ldmodel` (при этом основанных на одной и той же модели ферми-газа). Данная характеристика сравнима с разбросом экспериментальных точек, с отличием оценки IRDFF-II от этих точек, а также с отличием «среднего» (по разным `ldmodel`) сечения от экспериментальных точек и оценочной кривой.

Значит, в ряде случаев, используя заложенные в программный комплекс TALYS-1.9 модели плотности уровней ядер, а также ряд других параметров (`fullhf` и `optmodall`), имеется возможность получать адекватные оценки сечений, то есть использовать TALYS-1.9 в качестве предсказательного инструмента.

Далее следует изучить различия между оценочными и экспериментальными кривыми сечений, не описывающихся разбросом комплекса TALYS-1.9, с целью углубления понимания работы программного комплекса.

Список литературы

1. P. Holzer, U. Mosel, and W. Greiner, “Double-centre oscillator and its application to fission”, — *Nuclear Physics A*, v. 138, iss. 2, p. 241–252, 1969.
2. A. Trkov *et al.*, “IRDFF-II: A New Neutron Metrology Library”, — *Nuclear Data Sheets*, v. 163, p. 1–108, 2020. DOI: 10.1016/j.nds.2019.12.001.
3. A. J. Koning and D. Rochman, “Modern Nuclear Data Evaluation with the TALYS Code System”, — *Nuclear Data Sheets*, v. 113, iss. 12, p. 2841–2934, 2012. DOI: 10.1016/j.nds.2012.11.002.
4. R. Capote *et al.*, “RIPL — Reference Input Parameter Library for Calculation of Nuclear Reactions and Nuclear Data Evaluations”, — *Nuclear Data Sheets*, v. 110, iss. 12, p. 3107–3214, 2009. DOI: <https://doi.org/10.1016/j.nds.2009.10.004>.
5. О. Бор и Б. Моттelson, *Структура атомного ядра. Том 1. Одночастичное движение*. — Москва: Мир, 1971.
6. D. Scharnweber, W. Greiner, and U. Mosel, “The two-center shell model”, — *Nuclear Physics A*, v. 164, iss. 2, p. 257–278, 1971.
7. M. Mirea, “Two Center Shell Model with Woods-Saxon Potentials”, — *Romanian Reports in Physics*, v. 59, iss. 2, p. 523–531, 2007.
8. G. B. Arfken and H. J. Weber, *Mathematical Methods for Physicists*. — 5th ed. Academic Press, 2001.
9. А. С. Давыдов, *Квантовая механика*. — 2-е изд. Москва: Наука, 1973.
10. N. Saad and R. L. Hall, “Integrals containing confluent hypergeometric functions with applications to perturbed singular potentials”, — *Journal of Physics A: Mathematical and General*, v. 36, iss. 28, p. 7771–7788, 2003.
11. S. G. Nilsson, “Binding states of individual nucleons in strongly deformed nuclei”, — *Kong. Dan. Vid. Sel. Mat. Fys. Med.*, v. 29N16, p. 1–69, 1955.